## · 感兴趣病例分享 ·

胃上皮样血管肉瘤伴胸主动脉瘤栓形成<sup>18</sup>F-FDG PET/CT 显像 1 例

朱彦琳<sup>1</sup> 孙一文<sup>1</sup> 葛雨辰<sup>2</sup> 何健<sup>1</sup> <sup>1</sup>南京医科大学鼓楼临床医学院核医学科,南京 210008; <sup>2</sup>南京大学医学院附属鼓楼医院肿瘤中心,南京 210008 通信作者:何健, Email: hjxueren@ 163.com

患者男,77岁,主诉腹部不适 15 d,加重伴胸闷 2 d。实验室检查(括号内为正常参考值范围):血清铁蛋白>1.70(0.03~0.40)×10<sup>6</sup> ng/L。主动脉 CT 血管造影(CT angiography, CTA)(图 1A,1B)示降主动脉血栓形成,脾脏梗死。胸部 MRI 示降主动脉血栓形成(图 1C)。<sup>18</sup>F-FDG PET/CT 显像示:胃体及胃窦、胸主动脉内、肝脏、右肾上腺等多发 FDG 高代谢结节(图 2)。胃镜示多发黏膜隆起(图 3A),病理诊断(图 3B)(胃窦、胃体):恶性肿瘤。免疫组织化学结果:细胞增殖核抗原 Ki-67(约 70%,+)、E-26 转化特异性相关基因(+)、CD31(+)、Friend

DOI: 10.3760/cma.j.cn321828-20241029-00371

白血病病毒整合蛋白 1(+)、细胞角蛋白(+)、波形蛋白(+)、CD30(+)、Brahma 相关基因 1(+)、整合酶相互作用分子 1(+)、SMARCA2(+)、S-100(-)、SOX10(-)、人黑色素瘤 45(-)、CD3(-)、CD20(-)、CD34(-)。综合诊断为胃上皮样血管肉瘤伴胸主动脉内转移瘤栓形成及全身广泛转移。因无法手术,采用安罗替尼联合替雷利珠治疗,目前病情稳定。

利益冲突 所有作者声明无利益冲突

作者贡献声明 朱彦琳:研究实施、数据采集、论文撰写;孙一文:数据 采集、论文修改;葛雨辰:数据采集与分析;何健:研究指导、论文修改

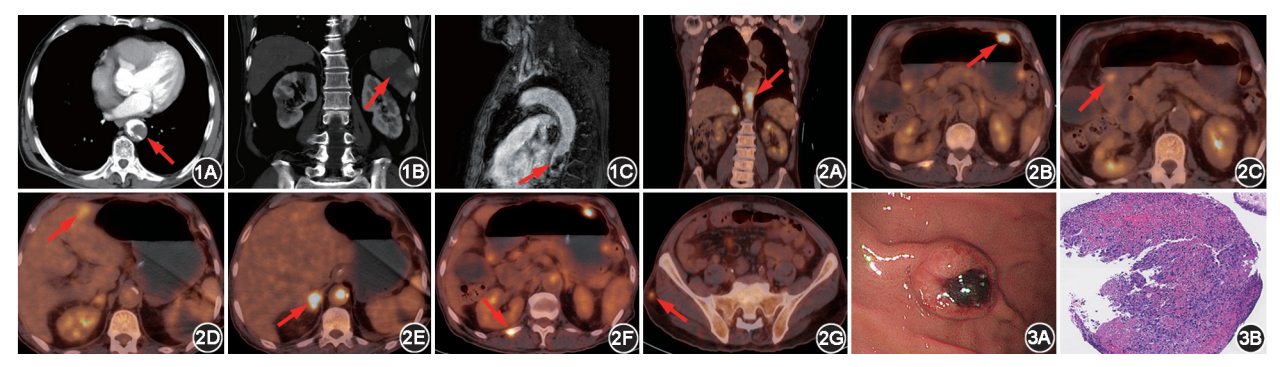


图 1 胃上皮样血管肉瘤伴多发转移患者(男,77岁)主动脉 CT 血管造影(CTA)、胸部 MRI 图(箭头示病灶)。1A,1B.主动脉 CTA 示降主动脉、脾动脉多发充盈缺损,未见强化,脾脏见楔形低密度影;1C.胸部 MRI 示降主动脉内 T<sub>2</sub> 加权像稍高信号影,增强见低信号充盈缺损。强化、信号特征是瘤栓与血栓的主要鉴别点,瘤栓在 CTA 中可能不均匀强化,血栓多不强化或仅边缘强化。MRI 中,瘤栓 T<sub>2</sub> 加权像上多呈高信号并强化,血栓信号随时期变化,多不强化。不同病例存在不典型表现,影像科医师需结合多模态影像和临床资料进行综合分析 图 2 该患者<sup>18</sup>F-FDG PET/CT 显像图(箭头示病灶)。2A.胸主动脉内见数个条片状高代谢影,较大横截面约 1.6 cm×1.4 cm, SUV<sub>max</sub> 为 10.2;2B,2C.胃体及胃窦高代谢灶,SUV<sub>max</sub> 为 11.1;2D.肝脏高代谢结节,SUV<sub>max</sub> 为 4.6;2E.右肾上腺高代谢结节,SUV<sub>max</sub> 为 9.7;2F.右第 12 后肋结节状高代谢灶,无骨质破坏,SUV<sub>max</sub> 为 8.3;2G.右臀部皮下小结节,SUV<sub>max</sub> 为 3.6;PET/CT 在本例患者诊断中有效区分了良恶性栓塞,全面展示病变累及范围。瘤栓在 PET/CT 上呈低/混杂密度伴高代谢,血栓代谢较低,PET/CT 可区分两者,并改变治疗策略,避免不必要的抗凝治疗[1]图 3 该患者胃镜检查图、病理图(HE×200)。3A.胃镜:胃体黏膜隆起处见血凝块;3B.病理;光学显微镜下见上皮样细胞和梭形细胞排列在狭缝状通道中,基质中见较多红细胞

## 参考文献

[1] 于进超,王黎明,赵旭龙,等.主动脉内膜肉瘤伴骨转移<sup>18</sup>F-FDG PET/CT 显像 1 例[J].中华核医学与分子影像杂志,2024,44 (8):495-496. DOI:10.3760/cma.j.cn321828-20230616-00173.

Yu JC, Wang LM, Zhao XL, et al. <sup>18</sup>F-FDG PET/CT imaging of aortic intimal sarcoma with bone metastases; a case report[J]. Chin J Nucl Med Mol Imaging, 2024, 44(8): 495-496. DOI:10.3760/cma.j.cn321828-20230616-00173.

(收稿日期:2024-10-29)